Laser Blade XS

Design iGuzzini **iGuzzini**

Letzte Aktualisierung der Informationen: April 2024

Produktkonfiguration: Q869
Q869: LB XS quadratische Pendelleuchte HC - 4 Zellen - Wide Flood Beam - integriertes Vorschaltgerät.

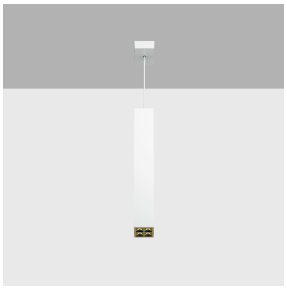

Produktcode
Q869: LB XS quadratische Pendelleuchte HC - 4 Zellen - Wide Flood Beam - integriertes Vorschaltgerät.

Beschreibung
Pendelleuchte mit 4 Optik-Elementen zur Bestückung mit LED, geeignet für eine zenitale Akzentbeleuchtung. Dank der patentierten Technologie des optischen Systems ist trotz der kompakten Leuchtenabmessungen ein effizienter Lichtfluss und hoher Sehkomfort gewährleistet. Hochauflösungsreflektoren Opti-Beam aus metallisiertem Thermoplast. Korpus aus stranggepresstem Aluminium - Technikkorpus für die Wärmeableitung aus Zamakdruckguss. Deckenrosette aus Thermoplast mit Befestigungsplatte aus profiliertem Stahl. Das Versorgungs-/Aufhängungskabel aus PVC hat die gleiche Farbe wie die Produktoberfläche - der Kabelverbinder am Korpus der Pendelleuchte ist mit einem manuellen Einstellsystem ausgestattet, das die eventuelle Ausrichtung erleichtert. Treiber ON-OFF im Leuchtenkorpus integriert.

Installation
Deckenrosette mit Befestigungsplatte (Schrauben und Dübel nicht inbegriffen).

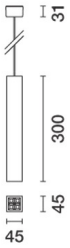

Farben
Weiß (01) | Schwarz/Schwarz (43) | Weiß/Schwarz (47) | Weiß/Gold (41)* | Schwarz/gold (44)* | White / chrome burnished (E7)* | Schwarz/chrom poliert (F1)*

* Farben auf Anfrage

Gewicht (Kg)
0.64

Montage
Pendelleuchte

Verkabelung
Anschlussklemmleiste auf der Deckenbefestigungsplatte - die Justierung des Aufhängungskabels kann am Korpus der Pendelleuchte vorgenommen werden.

Gemäß der Normen EN60598-1 u. Sondernormen

IP20

Technische Daten

Im System:	789	CRI (minimum):	90
W System:	10.2	Farbtemperatur [K]:	4000
Im Lichtquelle:	950	MacAdam Step:	2
W Lichtquelle:	8	Lebensdauer LED 1:	> 50,000h - L80 - B10 (Ta 25°C)
Lichtausbeute (lm/W, Systemwert):	77.3	Eingangsspannung [V]:	230
Im im Notlichtbetrieb:	-	Lampencode:	LED
abgegebener Lichtstrom bei/ über einem Winkel von 90° [lm]:	0	Anzahl Lampen in Leuchtengehäuse:	1
Leuchtenbetriebswirkungsgrad (L.O.R.) [%]:	83	ZVEI-Code:	LED
Abstrahlwinkel [°]:	58°	Anzahl Leuchtengehäuse:	1

Polardiagramm

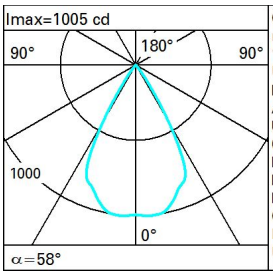

CIE
nL 0.83
100-100-100-100-83
UGR 17.2-17.2
DIN
A.61
UTE
0.83A+0.00T
F"1=996
F"1+F"2=1000
F"1+F"2+F"3=1000
CIBSE
LG3 L<1500 cd/m² at 65°
UGR<19 | L<1500 cd/mq @65°

Lux

h	d	Em	Emax
1	1.1	799	997
2	2.2	200	249
3	3.3	89	111
4	4.4	50	62

Wirkungsgrad

R	77	75	73	71	55	53	33	00	DRR
K0.8	75	71	68	66	70	68	68	65	78
1.0	78	75	72	70	74	72	71	69	83
1.5	82	79	77	76	78	77	76	73	89
2.0	85	83	81	80	82	80	79	77	93
2.5	86	85	84	83	84	83	82	79	96
3.0	87	86	85	85	85	84	83	81	98
4.0	88	87	87	86	86	86	84	82	99
5.0	89	88	88	88	87	86	85	83	100

Söllner-Diagramm

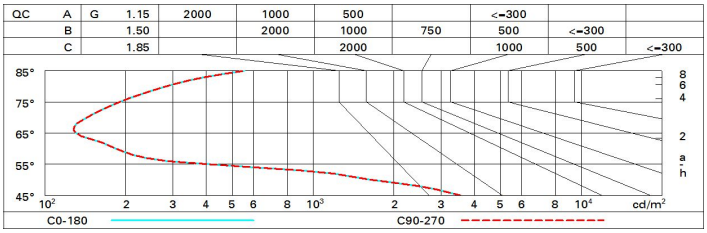

UGR-Diagramm

Corrected UGR values (at 950 lm bare lamp luminous flux)

Riflect.: ceil/cav		0.70	0.70	0.50	0.50	0.30	0.70	0.70	0.50	0.50	0.30
walls		0.50	0.30	0.50	0.30	0.30	0.50	0.30	0.50	0.30	0.30
work pl.		0.20	0.20	0.20	0.20	0.20	0.20	0.20	0.20	0.20	0.20
Room dim				viewed crosswise					viewed endwise		
x	y										
2H	2H	17.8	18.4	18.1	18.7	18.9	17.8	18.4	18.1	18.7	18.9
	3H	17.7	18.2	18.0	18.5	18.8	17.7	18.2	18.0	18.5	18.8
	4H	17.6	18.1	17.9	18.4	18.7	17.6	18.1	17.9	18.4	18.7
	6H	17.5	18.0	17.9	18.3	18.6	17.5	18.0	17.9	18.3	18.6
	8H	17.5	17.9	17.9	18.3	18.6	17.5	17.9	17.9	18.3	18.6
	12H	17.5	17.9	17.8	18.2	18.6	17.5	17.9	17.8	18.2	18.6
4H	2H	17.6	18.1	17.9	18.4	18.7	17.6	18.1	17.9	18.4	18.7
	3H	17.5	17.9	17.8	18.2	18.6	17.5	17.9	17.8	18.2	18.6
	4H	17.4	17.7	17.8	18.1	18.5	17.4	17.7	17.8	18.1	18.5
	6H	17.3	17.6	17.7	18.0	18.4	17.3	17.6	17.7	18.0	18.4
	8H	17.2	17.5	17.7	18.0	18.4	17.2	17.5	17.7	18.0	18.4
	12H	17.2	17.5	17.6	17.9	18.3	17.2	17.5	17.6	17.9	18.3
8H	4H	17.2	17.5	17.7	18.0	18.4	17.2	17.5	17.7	18.0	18.4
	6H	17.1	17.4	17.6	17.8	18.3	17.1	17.4	17.6	17.8	18.3
	8H	17.1	17.3	17.6	17.8	18.3	17.1	17.3	17.6	17.8	18.3
	12H	17.0	17.2	17.5	17.7	18.2	17.0	17.2	17.5	17.7	18.2
12H	4H	17.2	17.5	17.6	17.9	18.3	17.2	17.5	17.6	17.9	18.3
	6H	17.1	17.3	17.6	17.8	18.3	17.1	17.3	17.6	17.8	18.3
	8H	17.0	17.2	17.5	17.7	18.2	17.0	17.2	17.5	17.7	18.2

Variations with the observer position at spacing:

S =			
	1.0H	6.5 / -24.9	6.5 / -24.9
	1.5H	9.4 / -25.6	9.4 / -25.6
	2.0H	11.4 / -25.8	11.4 / -25.8